



“十二五”普通高等教育本科国家级规划教材
高等院校电气信息类专业“互联网+”创新规划教材

物理光学理论与应用

(第3版)

编著 | 宋贵才 全 薇



扫一扫联系客服



电子课件



北京大学出版社
PEKING UNIVERSITY PRESS

“十二五”普通高等教育本科国家级规划教材
高等院校电气信息类专业“互联网+”创新规划教材

物理光学理论与应用 (第3版)

宋贵才 全 薇 编著



北京大学出版社
PEKING UNIVERSITY PRESS

内 容 简 介

本书从光的电磁理论出发,系统、深入地讨论了光在介质中传播时发生的基本现象和遵循的基本规律。全书内容共分6章:光在各向同性介质中的传播规律与应用;光在各向异性介质中的传播规律与应用;光与物质相互作用的理论与应用;光的干涉理论与应用;光的衍射理论与应用;光的偏振理论与应用。

本着厚基础、重应用,使读者学以致用的理念,本书全面、系统地讲述了光学现象的物理实质和光学原理在工业、农业、国防和科学的研究等方面的应用。

本书可作为光电信息科学与工程专业、应用物理专业、电子科学与技术专业、测控技术与仪器专业以及光学工程专业本科生的专业基础教材,也可供从事与光学学科相关专业学习和研究的师生以及科技人员参考。

图书在版编目(CIP)数据

物理光学理论与应用/宋贵才,全薇编著.—3 版.—北京:北京大学出版社, 2019.4

高等院校电气信息类专业“互联网+”创新规划教材

ISBN 978-7-301-29712-4

I. ①物… II. ①宋…②全… III. ①物理光学—高等学校—教材 IV. ①O436

中国版本图书馆 CIP 数据核字(2018)第 165312 号

书 名 物理光学理论与应用(第3版)

WULI GUANGXUE LILUN YU YINGYONG(DI-SAN BAN)

著作责任者 宋贵才 全 薇 编著

策 划 编 辑 程志强

责 任 编 辑 李娉婷

数 字 编 辑 刘 蓉

标 准 书 号 ISBN 978-7-301-29712-4

出 版 发 行 北京大学出版社

地 址 北京市海淀区成府路 205 号 100871

网 址 <http://www.pup.cn> 新浪微博: @北京大学出版社

电 子 信 箱 pup_6@163.com

电 话 邮购部 010-62752015 发行部 010-62750672 编辑部 010-62750667

印 刷 者 河北滦县鑫华书刊印刷厂

经 销 者 新华书店

787 毫米×1092 毫米 16 开本 20.75 印张 473 千字

2010 年 3 月第 1 版 2015 年 9 月第 2 版

2019 年 4 月第 3 版 2019 年 4 月第 1 次印刷

定 价 56.00 元

未经许可,不得以任何方式复制或抄袭本书之部分或全部内容。

版 权 所 有,侵 权 必 究

举报电话: 010-62752024 电子信箱: fd@pup.pku.edu.cn

图书如有印装质量问题,请与出版部联系,电话: 010-62756370

第3版前言

本书于2014年入选“十二五”普通高等教育本科国家级规划教材，本书第2版于2015年9月出版，第2版深受广大读者的喜爱和好评，并于2017年获得第六届军工高校优秀教材一等奖。

本书第2版出版以来，我们根据读者的意见以及课程教学的需要，在吸收学科专业发展成果的同时，不断对有关内容进行修改和完善。在本书准备新版之际，我们参考专家及读者意见，全面审视了第2版的内容，对部分章节进行了增减，特别是拓展了一些课外阅读内容。读者通过扫描书中的二维码，就可以阅读有关的知识，从而加强对课本知识的理解和掌握。本次修订增加拓展阅读内容80处。

另外，本次修订对全书的文字、公式、图表等进行了全面审阅，改正了容易使人产生误解的阐述和讲解不当之处。

因水平所限，本次修订难免会有不足之处，恳请读者包涵，并能一如既往地提出宝贵意见，使本书通过不断修订，趋于完善。

编者
2019年1月



【资源索引】

第2版前言

《物理光学理论与应用》一书深受广大读者的喜爱和好评。2011年获得“长春理工大学优秀教材”称号，并获得第三届军工高校优秀教材二等奖，2014年入选“十二五”普通高等教育本科国家级规划教材。

《物理光学理论与应用》自2010年3月出版以来，编者不断对其进行修改和完善，在准备新版之际，编者参考专家及读者意见，全面审视了原版内容，对部分章节进行了修订。

本次修订改动较多的章节有1.6节“复色光波”、1.9节“菲涅耳公式”、2.2节“光在晶体中传播的基本规律”、2.6节“波矢折射率曲面方程与光线折射率曲面方程”、2.7节“波矢曲面方程与光线曲面方程”、2.9节“光在晶体表面的反射与折射”、3.1节“光与物质相互作用的经典理论”、4.3节“等倾干涉”、4.9节“单层光学薄膜”、5.1节“惠更斯-菲涅耳原理”、5.2节“基尔霍夫衍射理论”、5.4节“用傅里叶变换和有关函数处理衍射”和6.4节“偏振光与偏振光学元件的矩阵表示”。

另外，本次修订对全书的图表以及例题和习题进行了完善。

感谢一些读者告知书中易使人产生误解的阐述和讲解不当之处。

因水平所限，本次修订工作难免会有不足之处，恳请读者包涵，并能一如既往地提出宝贵意见，使本书通过不断打磨，臻于完善。

编 者

2015年2月

第1版前言

本书着重讲解光在介质中传播时遵循的基本规律及光与介质相互作用的基本理论；干涉、衍射、偏振等光学现象的物理实质；光学理论和光学仪器在微距、小角度、物质成分和含量、表面检测等方面的应用。

本书的教学时数为 80 学时。全书共分 6 章：第 1 章，从光的电磁理论出发，着重讨论光在各向同性介质中的传播规律，以及光在介质表面的反射和折射规律；第 2 章，在介绍晶体基本特性的基础上，重点讨论光在单轴晶体和双轴晶体中传播时的基本规律以及光在晶体表面上的反射和折射规律；第 3 章，在介绍光与物质相互作用的经典理论基础上，讨论介质对光的吸收、色散和散射现象的本质和所遵循的基本规律，并介绍它们在物质成分、含量和浓度分析与检测等方面的应用；第 4 章，在分析产生干涉的条件基础上，主要讨论双光束干涉、多光束干涉、干涉仪器及干涉在光学薄膜设计中的应用；第 5 章，在介绍惠更斯-菲涅耳衍射理论的基础上，详细讨论基尔霍夫标量衍射理论，并用傅里叶变换的方法来处理夫琅禾费衍射，介绍衍射理论在光谱分析等方面的应用；第 6 章，在介绍自然光和偏振光特点的基础上，着重研究偏振光的产生、偏振光和偏振器件的琼斯矩阵表示、偏振光的干涉及偏振光的应用。

本书前后连贯，逻辑性强，便于学习和记忆。本书图表丰富，推演过程详细，便于理解和掌握。本书各节都有要点总结，便于对重点知识的把握。本书各章后面有小结和应用实例，并附有与讲述内容联系紧密并且实用性强的习题，便于学以致用。

本书由宋贵才编写第 2、5、6 章，全薇编写第 3、4 章，王新编写第 1 章。宋贵才统编全稿，解辉、钟亮对全书进行了校订，并由梁柱主审。本书在编写过程中得到了张喜和、金光勇、马文联的大力支持，也得到了赵振明、李昌立、吕彦飞和雷建国的帮助，在此向他们表示诚挚的感谢！

由于编者水平有限，书中难免存在不足之处，殷切期望广大读者批评指正。

编 者

2010 年 1 月

目 录

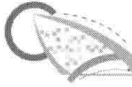
绪论	1
第 1 章 光在各向同性介质中的传播 规律与应用	3
1.1 麦克斯韦方程组	4
1.1.1 积分形式的麦克斯韦方程组	4
1.1.2 微分形式的麦克斯韦方程组	6
1.1.3 电磁场常用公式	7
1.2 电磁场的波动方程	8
1.2.1 波动方程	9
1.2.2 电磁波	10
1.3 平面电磁波	11
1.3.1 平面电磁波的解	11
1.3.2 平面电磁波的表示方法	13
1.3.3 平面电磁波的性质	13
1.3.4 平面电磁波的叠加	15
1.4 球面波和柱面波	17
1.4.1 球面波	17
1.4.2 柱面波	19
1.4.3 球面波和柱面波的近似 求法	21
1.5 光驻波	22
1.5.1 波节与波腹	22
1.5.2 光驻波实验	23
1.6 复色光波	24
1.6.1 光学拍	25
1.6.2 相速度与群速度	27
1.7 电磁场的边值关系	28
1.7.1 磁感应强度与电感应强度所 满足的边值关系	28
1.7.2 电场强度与磁场强度所满足的 边值关系	30
1.8 光在介质表面的反射与折射	31
1.8.1 入、反、折三波的频率关系与 波矢关系	31
1.8.2 反射波与折射波的方向	32
1.9 菲涅耳公式	33
1.9.1 S 波的反射系数与透射系数	33
1.9.2 P 波的反射系数与透射系数	34
1.9.3 菲涅耳公式的讨论	36
1.9.4 斯托克斯倒逆关系	38
1.9.5 反射率与透射率	39
1.10 全反射	42
1.10.1 反射系数变化	42
1.10.2 位相变化	42
1.10.3 倚逝波	44
1.11 光在金属表面的透射与反射	46
1.11.1 金属内的透射波	46
1.11.2 金属表面的反射	47
小结	50
应用实例	50
习题	53
第 2 章 光在各向异性介质中的传播 规律与应用	56
2.1 各向异性晶体概述	57
2.2 光在晶体中传播的基本规律	61
2.2.1 晶体中单色平面波的各矢量 关系	61
2.2.2 晶体中光波的相速度与光线 速度	62
2.2.3 晶体中 E 与 D 的关系	63
2.3 光在晶体中的菲涅耳方程	64
2.3.1 波矢菲涅耳方程	64
2.3.2 光线菲涅耳方程	66
2.4 折射率椭球方程	67



2.4.1 折射率椭球.....	67
2.4.2 单轴晶体的折射率椭球.....	68
2.4.3 双轴晶体的折射率椭球.....	70
2.5 光在单轴晶体中的传播规律.....	74
2.5.1 波矢菲涅耳方程的解.....	74
2.5.2 o光和e光的振动方向.....	75
2.5.3 e光的离散角.....	76
2.6 波矢折射率曲面方程与光线折射率 曲面方程.....	77
2.6.1 波矢折射率曲面方程.....	77
2.6.2 光线折射率曲面方程.....	80
2.6.3 相位匹配与激光倍频.....	82
2.7 波矢曲面方程与光线曲面方程.....	84
2.7.1 波矢曲面方程.....	84
2.7.2 光线曲面方程.....	87
2.8 波矢速度面方程和光线速度面方程 ..	90
2.8.1 波矢速度面方程.....	90
2.8.2 光线速度面方程.....	92
2.9 光在晶体表面的反射与折射.....	95
2.9.1 双反射与双折射.....	95
2.9.2 斯涅耳作图法.....	96
2.9.3 惠更斯作图法.....	98
2.10 双轴晶体产生的锥形折射.....	101
2.10.1 内锥形折射.....	102
2.10.2 外锥形折射.....	104
小结	105
应用实例	106
习题	108
第3章 光与物质相互作用的理论 与应用	112
3.1 光与物质相互作用的经典理论	113
3.1.1 电磁理论	113
3.1.2 色散与吸收曲线.....	115
3.2 介质对光的吸收.....	116
3.2.1 吸收定律	117
3.2.2 吸收光谱	118
3.3 介质对光的色散.....	120
3.3.1 正常色散与反常色散.....	120
3.3.2 光在色散介质中的传播.....	123
3.3.3 色散率	123
3.4 介质对光的散射	124
3.4.1 介质对光的散射及其形成 原因	124
3.4.2 散射的种类	125
小结	130
应用实例	130
习题	131
第4章 光的干涉理论与应用	133
4.1 产生干涉的条件	134
4.1.1 形成干涉的基本条件.....	134
4.1.2 实现干涉的基本方法.....	135
4.1.3 干涉场强度分布	135
4.2 杨氏双缝干涉	137
4.2.1 杨氏双缝干涉的原理.....	137
4.2.2 杨氏双缝干涉的强度分布....	137
4.2.3 其他分波前干涉	139
4.3 等倾干涉	142
4.3.1 等倾干涉的原理	142
4.3.2 等倾干涉图样	143
4.4 等厚干涉	146
4.4.1 等厚干涉的原理	146
4.4.2 等厚干涉图样	147
4.5 影响干涉条纹对比度的因素	149
4.5.1 光源大小的影响	149
4.5.2 光源非单色性的影响.....	151
4.5.3 两相干光波振幅比的影响....	153
4.6 双光束干涉仪	154
4.6.1 平面干涉仪	154
4.6.2 球面干涉仪	156
4.6.3 迈克尔逊干涉仪	158
4.6.4 泰曼干涉仪	160
4.6.5 马赫-泽德干涉仪	162
4.7 多光束干涉	163



4.7.1 多光束干涉的强度分布	164	5.4.5 δ 函数及其性质	214
4.7.2 多光束干涉图样的特点	165	5.5 照明函数和孔径函数的具体表达形式	215
4.7.3 透射光干涉的特点	166	5.5.1 照明函数的具体表达形式	215
4.8 法布里-珀罗干涉仪	169	5.5.2 常用函数的定义及其傅里叶变换频谱	217
4.8.1 法布里-珀罗干涉仪的结构与原理	169	5.5.3 孔径函数的具体表示	221
4.8.2 法布里-珀罗干涉仪的应用	170	5.6 利用傅里叶变换处理夫琅禾费衍射	222
4.9 单层光学薄膜	174	5.6.1 单缝衍射	222
4.9.1 单层膜的反射率	174	5.6.2 双缝衍射	224
4.9.2 单层膜的种类	176	5.6.3 矩形孔衍射	226
4.10 多层介质膜	178	5.6.4 圆孔衍射	227
4.10.1 等效折射率	179	5.6.5 圆盘衍射	229
4.10.2 多层介质膜的反射率	179	5.7 衍射光栅	230
4.10.3 常用多层介质膜	181	5.7.1 光栅衍射	230
4.10.4 多层介质膜应用	183	5.7.2 光栅的分光本领	236
小结	185	5.8 闪耀光栅	238
应用实例	186	5.8.1 闪耀光栅的结构	238
习题	189	5.8.2 闪耀光栅的分光原理	239
第 5 章 光的衍射理论与应用	193	小结	241
5.1 惠更斯-菲涅耳原理	194	应用实例	241
5.1.1 惠更斯原理	194	习题	243
5.1.2 惠更斯-菲涅耳原理	195	第 6 章 光的偏振理论与应用	247
5.1.3 菲涅耳波带法	196	6.1 偏振光概述	248
5.2 基尔霍夫衍射理论	200	6.1.1 自然光与偏振光	248
5.2.1 亥姆霍兹-基尔霍夫积分定理	200	6.1.2 获得偏振光的方法	249
5.2.2 菲涅耳-基尔霍夫衍射公式	202	6.1.3 偏振度	252
5.2.3 基尔霍夫衍射公式的近似	203	6.1.4 马吕斯定律与消光比	253
5.3 夫琅禾费衍射	207	6.2 正交偏振光的叠加	254
5.3.1 夫琅禾费衍射装置	207	6.2.1 椭圆偏振光	254
5.3.2 透镜的位相变换作用	208	6.2.2 偏振椭圆分析	255
5.4 处理衍射用傅里叶变换和有关函数	210	6.3 偏振器件	257
5.4.1 傅里叶变换简介	210	6.3.1 偏振棱镜	257
5.4.2 常用函数的傅里叶变换对	211	6.3.2 波片	260
5.4.3 傅里叶变换定理	212	6.3.3 补偿器	261
5.4.4 卷积及其性质	213	6.3.4 偏振光检验	262



6.4	偏振光与偏振器件的矩阵表示	264
6.4.1	偏振光的矩阵表示	264
6.4.2	偏振器件的矩阵表示	267
6.4.3	琼斯矩阵的应用	271
6.5	偏振光的干涉	273
6.5.1	平行偏振光的干涉	273
6.5.2	会聚偏振光的干涉	276
6.6	物质的旋光效应	279
6.6.1	物质的旋光效应概述	279
6.6.2	物质旋光效应的解释	281
6.6.3	科纽棱镜	282
6.7	磁光效应	283
6.7.1	法拉第效应	283
6.7.2	磁致旋光效应的解释	284
6.7.3	法拉第效应应用举例	284
6.8	电光效应	285
6.8.1	电致折射率变化	285
6.8.2	KDP 晶体的电光效应	286
6.8.3	LiNbO ₃ 晶体的电光效应	288
6.8.4	纵向电光效应和横向 电光效应	291
6.8.5	电光效应应用	293
	小结	294
	应用实例	294
	习题	296
	术语汉-英索引	299
	习题参考答案	309
	参考文献	315

绪 论

人们都知道，没有光，人和动植物将不能生存。那么，光是什么？这个问题一直是科学家们研究和探讨的，至今为止，人们对光的本质的认识仍然在继续。

经过漫长的发展过程，在17世纪下半叶，对光的认识有了两种针锋相对的观点：一种是以牛顿(Newton, 1643—1727)为代表的微粒说，另一种是以惠更斯(Christiaan Huygens, 1629—1695)为代表的波动说。微粒说认为，光是由光源飞出来的微粒流，光在介质中传播时，光速的变化是介质对微粒产生引力的结果，并预言光在密度大的介质中的传播速度大于光在密度小的介质中的传播速度。波动说则认为，光是类似于水波、声波在“以太”中传播的弹性波，并认为光在密度大的介质中的传播速度小于光在密度小的介质中的传播速度。无论是微粒说，还是波动说，都对光的反射、折射等现象进行了解释，但在折射定律的解释上却存在明显的分歧。微粒说认为，光偏折是由于碰撞引起的，而波动说则认为是由于散射引起的。由于当时牛顿威望很高，多数人都接受了牛顿的观点，因而18世纪微粒说占主导地位。

到了19世纪，托马斯·杨(Thomas Young, 1773—1829)和菲涅耳(Augustin-Jean Fresnel, 1788—1827)对波动说的发展起到了决定性作用。1801年，托马斯·杨做了双缝干涉实验，并第一次成功地测定了光的波长。1815年，菲涅耳用杨氏干涉原理补充了惠更斯原理，形成了惠更斯-菲涅耳原理。运用这个原理不仅可以解释光在均匀介质中的直线传播，而且能解释光通过障碍物时所发生的衍射现象，因此，它是波动光学的一个重要原理。1808年，马吕斯(Etienne Louis Malus, 1775—1812)发现了光在两种介质的界面上反射时的偏振现象，随后菲涅耳和阿喇果(Arago, 1768—1853)对光的偏振现象和偏振光的产生进行了研究。为了解释这些现象，托马斯·杨在1817年提出了光波是横波的假设。横波的假设很好地解释了光的偏振现象。但这时仍然把光波看作是在“以太”中传播的弹性波，至于“以太”是什么，仍难自圆其说，这样，波动理论存在的问题也就显露出来。

1845年，法拉第(Michael Faraday, 1791—1867)发现了光的振动面在强磁场中的旋转，揭示了光学现象和电磁现象的内在联系。1856年，韦伯(Weber, 1804—1891)和柯尔劳斯(Kohlrausch, 1809—1858)在做电学实验时，发现电荷的电磁单位和静电单位的比值等于光在真空中的传播速度。从这些现象中人们得到启示，即在研究光学现象时，必须和其他物理现象联系起来考虑。

对光波动的完整理论描述是在19世纪中叶，1865年，麦克斯韦(James Clerk Maxwell, 1831—1879)在总结前人研究工作的基础上，建立了电磁理论，预言了电磁波的存在，指出光也是一种电磁波。通过解波动方程，得到 $n = \sqrt{\epsilon_r \mu_r}$ 的麦克斯韦关系式。这表明，介质的光学常数与电学常数和磁学常数有着内在的联系。1888年，光的电磁理论被赫兹(Hertz, 1857—1894)的实验证实，并测定了电磁波的速度恰好等于光的速度。从此，光的电磁理



【人物简介】



论被人们普遍承认，麦克斯韦的电磁理论不仅是无线电技术的启明星，而且在人们认识光的本性方面向前迈进了一大步。但是，麦克斯韦的电磁理论无法解释当时实验证实的介质的折射率随着波长变化的色散现象。直到1896年，洛伦兹(Hendrik Antoon Lorentz, 1853—1928)创立了电子论，这一问题才得到解决。洛伦兹认为，在电场力的作用下，电子做受迫振动而产生光的辐射。当光通过介质时，介质中电子的固有频率和外场的频率相同时，则束缚电子便成为较显著的光的吸收体。这样，利用洛伦兹的电子论不仅可以解释物质发射和吸收光的现象，而且可以解释光在介质中传播时光的色散现象。

在此期间，人们还用多种方法对光的传播速度进行了测量。1849年，斐索(Fizeau, 1819—1896)运用旋转齿轮法进行光速测量。1862年，傅科(Foucault, 1819—1868)利用旋转镜法测量了光在不同介质中的传播速度，并得到了与波动说相同的结论。1887年，迈克尔逊(Albert Abrahan Michelson, 1852—1931)进行光速测量时发现，顺着地球自转方向和逆着地球自转方向测量出来的光速相同，这就否定了当时人们公认的静止“以太”的存在，进一步确立了光的电磁理论学说。

19世纪末到20世纪初，光学的研究深入至光的产生、光与物质相互作用的微观结构中。光的电磁理论的主要困难是不能解释光和物质相互作用的某些现象，例如，黑体辐射中能量按波长分布的问题、光电效应问题等。1900年，普朗克(Max Karl Ernst Ludwig Planck, 1858—1947)提出了辐射的量子理论，认为各种频率的电磁波只能以一定的能量子方式从振子发射，能量子是不连续的，其大小只能是电磁波的频率 ν 与普朗克常数(Planck's constant) h 的乘积的整数倍，即 $E = nh\nu$ ($h = 6.6255916 \times 10^{-34} \text{ J}\cdot\text{s}$)，从而成功地解释了黑体辐射问题。1905年，爱因斯坦(Albert Einstein, 1879—1955)发展了普朗克的能量子理论，将量子论贯穿整个辐射和吸收过程中，提出了光量子(光子)理论，圆满解释了光电效应问题，并被后来的康普顿(Arthur Holly Compton, 1892—1962)效应所证实。但是，这里所说的光子不同于牛顿微粒说中的粒子，光子是和光的频率联系着的，光同时具有微粒和波动两种特性，即波粒二象性(wave particle duality)。

至此，人们从光的干涉、衍射和偏振等现象证实了光的波动性；从黑体辐射、光电效应和康普顿效应等又证实了光的粒子性。对于如何将有关光的本性的两个完全不同的概念统一起来，人们进行了大量的探索工作。

1924年，德布罗意(Louis Victor de Broglie, 1892—1987)创立了物质波学说，提出每一种物质的粒子都和一定的波相联系的假设，并把粒子和波通过关系式： $E = h\nu = \hbar\omega$ 和 $\mathbf{P} = \hbar\mathbf{k}$ 联系起来，其中， $\hbar = h/2\pi$ 。这一假设在1927年被戴维森(Davisson, 1881—1958)和革末(Germer, 1896—1971)的电子束衍射实验所证实。后来的一些实验进一步证实原子、分子、原子核、基本粒子等也都具有波粒二象性。

1926年，薛定谔(Erwin Schrodinger, 1887—1961)建立了物质波所满足的方程，提出了波函数的概念，认为光子的个体是微粒量子，其运动符合波函数，作为光子统计的集合表现出波动性。这一观点使人们对光的本质有了进一步的认识。

1959年，马克斯·波恩(Max Born, 1882—1970)与沃尔夫合著了《光学原理》，到2001年已出至第七版，成为光的电磁理论方面的一部公认经典著作。

20世纪60年代激光问世以后，光学又开始了一个新的发展时期，出现了许多新兴光学学科，例如，傅里叶光学、薄膜光学、集成光学、非线性光学、纤维光学和全息光学等。应当指出的是，人们对光的本性的认识还远远没有完结，随着科学技术的不断发展，人们对光的本性的认识会更加深入、更加完善。

第1章

光在各向同性介质中的传播规律与应用



教学目的与要求

- 掌握交变电磁场中积分形式和微分形式的麦克斯韦方程组
- 掌握电磁场的波动方程和亥姆霍兹方程
- 掌握平面波及其基本性质
- 了解球面波和柱面波的基本特点
- 掌握光波的叠加方法
- 了解电磁场的边值关系
- 了解光在介质表面的反射和折射规律
- 掌握菲涅耳公式和斯托克斯倒逆关系
- 了解全反射及其应用
- 了解光在金属表面的反射和透射特点



本章引言

光波在诸如空气、水和玻璃等介质中传播时，其传播规律与光的传播方向无关，这类介质称为各向同性介质。

当光波在各向同性介质中传播时，需要分析和讨论光波随着时空变化的情况，从而掌握光波随时间和空间变化的基本规律；当光波遇到两种介质的交界面时，需要分析和讨论光波在两种介质的交界面处所满足的边值关系，从而掌握入射波、反射波和透射波之间的振幅、能量、位相和偏振等关系。

在实际中，可以利用光在各向同性介质中的传播规律，解决光波振幅、强度、位相、频率、波长以及速度等随着时间、空间的变化问题；还可以解决介质的折射率、反射率和透射率等问题。光在光纤中传输就是利用了全反射的原理，从而实现了光通信，图 1.0 为适用于光通信的光缆示意图。



【光纤】



【光通信】

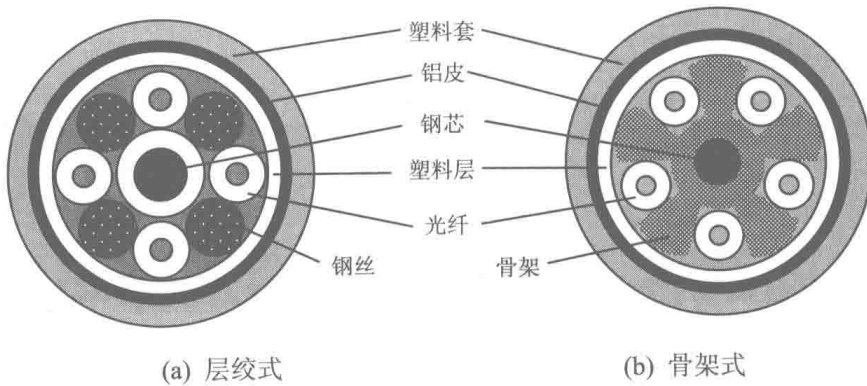


图 1.0 光缆示意图

本章围绕光在各向同性介质中和交界面处所遵循的基本规律而展开讨论。首先，利用微分形式的麦克斯韦方程组推导出光波电磁场的波动方程和亥姆霍兹方程，通过在直角坐标系、球坐标系和柱坐标系下解波动方程，得到平面波、球面波和柱面波随时间和空间变化的规律。其次，利用积分形式的麦克斯韦方程组推导出光波电磁场的边值关系，通过电磁场的边值关系得到光波在两种介质的交界处满足的反射、折射定律和菲涅耳公式。再次，通过对全反射以及光在金属表面的反射和透射的分析，加深对光波在各向同性介质中传播规律的理解和掌握。

1.1 麦克斯韦方程组

在电磁学和电动力学中，电磁场的普遍规律最终被总结为麦克斯韦方程组。通常情况下，光在介质中传播时麦克斯韦方程组可以写成积分和微分两种形式。从麦克斯韦方程组出发，结合具体的边界条件，可以定性、定量地分析和研究在给定条件下发生的光学现象，如光的反射、折射、干涉、衍射等。本节将讨论积分和微分形式的麦克斯韦方程组，并介绍电磁场中的常用公式。

1.1.1 积分形式的麦克斯韦方程组

在稳恒电磁场中，电磁现象的基本规律可以概括为以下 4 个基本方程，称它们为积分形式的麦克斯韦方程组：

$$\left\{ \begin{array}{l} \oint \mathbf{D} \cdot d\mathbf{s} = \sum q_i = Q \\ \oint \mathbf{B} \cdot d\mathbf{s} = 0 \\ \oint \mathbf{E} \cdot d\mathbf{l} = 0 \\ \oint \mathbf{H} \cdot d\mathbf{l} = \sum I_i = I \end{array} \right. \quad (1.1-1)$$

式中， \mathbf{D} 、 \mathbf{B} 、 \mathbf{E} 、 \mathbf{H} 分别表示电感应强度(电位移矢量)、磁感应强度、电场强度和磁场强度；对 $d\mathbf{s}$ 和 $d\mathbf{l}$ 的积分分别表示电磁场中任意闭合曲面和闭合环路上的积分； $\sum q_i$ 表示闭



合曲面内包含的电荷的总和，即总电量 Q ； $\sum I_i$ 表示闭合环路包围的传导电流的总和 I 。

式(1.1-1)中，第一式称为电场的高斯(Gauss)定理，它表示任意的静电场中通过任意封闭曲面的电场强度通量等于该曲面内包含的总电量；第二式称为磁场的高斯定理，它表示通过任意封闭曲面的磁感应强度通量为零；第三式称为静电场的环路定理，它表示静电场中电场强度沿任意闭合环路的线积分恒等于零；第四式称为磁场安培(Ampere)环路定理，它表示磁场强度沿任意闭合环路的线积分等于该闭合环路所包围的传导电流的总和。

上述方程仅适合于稳恒电磁场情况，对于交变电磁场，麦克斯韦利用法拉第电磁感应定律和位移电流的概念，对式(1.1-1)中的第三式和第四式进行了修改。

1. 对第三式的修改

根据法拉第电磁感应定律，当一个闭合线圈处在变化的磁场中时，就会在闭合线圈中产生感应电动势，感应电动势的大小与磁感应强度通量 ϕ_B 随时间的变化率成比例，其方向由左手定则决定，可以表示为

$$U = -\frac{d\phi_B}{dt} = -\frac{d}{dt} \iint \mathbf{B} \cdot d\mathbf{s} = -\iint \frac{\partial \mathbf{B}}{\partial t} \cdot d\mathbf{s} \quad (1.1-2)$$

麦克斯韦认为，感应电动势的产生是电场对线圈中自由电荷作用的结果。这种电场由变化的磁场产生，与静电场不同，它是涡旋电场。这种电场的存在不依赖于线圈，即使没有线圈，只要在空间某一区域磁场发生变化，就会有涡旋电场产生。所以，法拉第电磁感应定律实质上表示变化磁场和电场联系的普遍规律。

由于感应电动势等于涡旋电场沿闭合线圈移动单位正电荷一周时所做的功，即

$$U = \oint \mathbf{E} \cdot d\mathbf{l} \quad (1.1-3)$$

因而，将式(1.1-3)代入式(1.1-2)，可以得到修改后的第三式为

$$\oint \mathbf{E} \cdot d\mathbf{l} = -\iint \frac{\partial \mathbf{B}}{\partial t} \cdot d\mathbf{s} \quad (1.1-4)$$

2. 对第四式的修改

麦克斯韦进一步认为，不仅变化的磁场能够产生电场，而且变化的电场也能够产生磁场，在激发磁场这一点上，电场的变化相当于电流，这种电流被称为“位移电流”。电场中通过任一截面的位移电流强度等于通过该截面的电感应强度通量 ϕ_D 的时间变化率，即

$$I_D = \frac{d\phi_D}{dt} = \frac{d}{dt} \iint \mathbf{D} \cdot d\mathbf{s} = \iint \frac{\partial \mathbf{D}}{\partial t} \cdot d\mathbf{s} \quad (1.1-5)$$

由于 $I_D = \iint \mathbf{j}_D \cdot d\mathbf{s}$ ，式中， \mathbf{j}_D 为位移电流密度，所以由式(1.1-5)得到位移电流密度为

$$\mathbf{j}_D = \frac{\partial \mathbf{D}}{\partial t} \quad (1.1-6)$$

因此，在交变电磁场的情况下，磁场既包括传导电流产生的磁场，也包括位移电流产生的磁场。这样，可以得到修改后的第四式为

$$\oint \mathbf{H} \cdot d\mathbf{l} = \sum I_i + \iint \frac{\partial \mathbf{D}}{\partial t} \cdot d\mathbf{s} \quad (1.1-7)$$



归纳起来，交变电磁场情况下积分形式的麦克斯韦方程组可以写成

$$\left\{ \begin{array}{l} \oint \mathbf{D} \cdot d\mathbf{s} = \sum q_i = Q \\ \oint \mathbf{B} \cdot d\mathbf{s} = 0 \\ \oint \mathbf{E} \cdot d\mathbf{l} = - \iint \frac{\partial \mathbf{B}}{\partial t} \cdot d\mathbf{s} \\ \oint \mathbf{H} \cdot d\mathbf{l} = \sum I_i + \iint \frac{\partial \mathbf{D}}{\partial t} \cdot d\mathbf{s} \end{array} \right. \quad (1.1-8)$$

1.1.2 微分形式的麦克斯韦方程组

积分形式的麦克斯韦方程组一般用于在两种介质的分界面处求解从一种介质到另一种介质时电磁场各个矢量之间的关系。对于求解同种介质中给定点的电磁场随着时空变化的问题，通常使用微分形式的麦克斯韦方程组。可以利用数学中的高斯定理和斯托克斯(Stokes)定理将积分形式的麦克斯韦方程组变成微分形式的麦克斯韦方程组。

数学中的高斯定理为

$$\iint \mathbf{A} \cdot d\mathbf{s} = \iiint \nabla \cdot \mathbf{A} dv \quad (1.1-9)$$

式中， $\nabla = (\partial/\partial x)\mathbf{x}_0 + (\partial/\partial y)\mathbf{y}_0 + (\partial/\partial z)\mathbf{z}_0$ ，称为哈密顿算符(Hamilton operator)，是一个矢量。 $\nabla \cdot \mathbf{A} = \partial A_x / \partial x + \partial A_y / \partial y + \partial A_z / \partial z$ ，表示 \mathbf{A} 的散度，也记为

\mathbf{A}

。

对于式(1.1-8)中的第一式，如果闭合曲面积分域内包含的电荷密度(charge density)为 ρ ，则

$$\oint \mathbf{D} \cdot d\mathbf{s} = \sum q_i = Q = \iiint \rho dv \quad (1.1-10)$$

对照式(1.1-9)，可以得到

$$\nabla \cdot \mathbf{D} = \rho \quad (1.1-11)$$

式(1.1-8)中的第二式和第一式类似，因此又可以得到

$$\nabla \cdot \mathbf{B} = 0 \quad (1.1-12)$$

数学中的斯托克斯定理为

$$\int \mathbf{A} \cdot d\mathbf{l} = \iint (\nabla \times \mathbf{A}) \cdot d\mathbf{s} \quad (1.1-13)$$

式中， $\nabla \times \mathbf{A} = \left(\frac{\partial A_z}{\partial y} - \frac{\partial A_y}{\partial z} \right) \mathbf{x}_0 + \left(\frac{\partial A_x}{\partial z} - \frac{\partial A_z}{\partial x} \right) \mathbf{y}_0 + \left(\frac{\partial A_y}{\partial x} - \frac{\partial A_x}{\partial y} \right) \mathbf{z}_0$ ，表示 \mathbf{A} 的旋度，也记为

\mathbf{A}

。

对于式(1.1-8)中的第四式，如果闭合环路包围的传导电流密度为 \mathbf{j} ，则

$$\sum I_i = \iint \mathbf{j} \cdot d\mathbf{s} \quad (1.1-14)$$

因此式(1.1-8)中的第四式可以写成

$$\oint \mathbf{H} \cdot d\mathbf{l} = \iint \mathbf{j} \cdot d\mathbf{s} + \iint \frac{\partial \mathbf{D}}{\partial t} \cdot d\mathbf{s} \quad (1.1-15)$$

对照式(1.1-13)，可以得到



$$\nabla \times \mathbf{H} = \mathbf{j} + \frac{\partial \mathbf{D}}{\partial t} \quad (1.1-16)$$

式(1.1-8)中的第三式和第四式类似，因此又可以得到

$$\nabla \times \mathbf{E} = -\frac{\partial \mathbf{B}}{\partial t} \quad (1.1-17)$$

因此，微分形式的麦克斯韦方程组为

$$\left\{ \begin{array}{l} \nabla \cdot \mathbf{D} = \rho \\ \nabla \cdot \mathbf{B} = 0 \\ \nabla \times \mathbf{E} = -\frac{\partial \mathbf{B}}{\partial t} \\ \nabla \times \mathbf{H} = \mathbf{j} + \frac{\partial \mathbf{D}}{\partial t} \end{array} \right. \quad (1.1-18)$$

1.1.3 电磁场常用公式

在均匀介质中， \mathbf{D} 和 \mathbf{E} 、 \mathbf{B} 和 \mathbf{H} 存在如下简单关系：

$$\mathbf{D} = \epsilon \mathbf{E} \quad (1.1-19)$$

$$\mathbf{B} = \mu \mathbf{H} \quad (1.1-20)$$

式中， ϵ 和 μ 是两个标量，分别称为介电常数和磁导率(permeability)。

在导电物质中还有欧姆(Ohm)定律：

$$\mathbf{j} = \sigma \mathbf{E} \quad (1.1-21)$$

式中， σ 为电导率，单位为 $(\Omega \cdot m)^{-1}$ 。式(1.1-19)、式(1.1-20)和式(1.1-21)称为物质方程。

当物质在电磁场作用下产生电极化和磁极化时，有

$$\mathbf{D} = \epsilon_0 \mathbf{E} + \mathbf{P} \quad (1.1-22)$$

$$\mathbf{B} = \mu_0 \mathbf{H} + \mu_0 \mathbf{M} \quad (1.1-23)$$

式中， \mathbf{P} 和 \mathbf{M} 分别称为电极化强度和磁极化强度； $\epsilon_0 = 8.8542 \times 10^{-12} C^2 / (N \cdot m^2)$ (法拉/米)，称为真空中的介电常数； $\mu_0 = 4\pi \times 10^{-7} N \cdot s^2 / C^3$ (亨利/米)，称为真空中的磁导率。电极化强度与电场强度之间的关系为

$$\mathbf{P} = \chi_e \epsilon_0 \mathbf{E} \quad (1.1-24)$$

式中， χ_e 为介质的电极化率。引入相对介电常数 ϵ_r ，则有

$$\epsilon = \epsilon_r \epsilon_0, \quad \epsilon_r = 1 + \chi_e \quad (1.1-25)$$

磁极化强度与磁场强度之间的关系为

$$\mathbf{M} = \chi_m \mathbf{H} \quad (1.1-26)$$

式中， χ_m 为介质的磁极化率。引入相对介电常数 μ_r ，则有

$$\mu = \mu_r \mu_0, \quad \mu_r = 1 + \chi_m \quad (1.1-27)$$

对于非磁性介质， $\mu \approx \mu_0$ ，即 $\mu_r = 1$ 。

在研究辐射场强度和光能流以及场与粒子相互作用时，还将用到以下公式：

$$\mathbf{S} = \mathbf{E} \times \mathbf{H} \quad (1.1-28)$$

